

بررسی DNA چهارشته‌ای تشکیل دهنده دزوکسی‌ریبوزایم شبه پراکسیدازی با روش‌های طیف‌سنجی

زهرا کرمی^۱، بیژن رنجبر^{۲*}، ارسسطو بدويی دلفارد^۳

۱- دانشجوی دکتری بیوفیزیک، دانشکده علوم زیستی، دانشگاه تربیت مدرس، تهران، ایران

۲- استاد گروه بیوفیزیک، دانشکده علوم زیستی، دانشگاه تربیت مدرس، تهران، ایران

۳- استادیار گروه زیست‌شناسی، دانشکده علوم، دانشگاه شهید باهنر کرمان، کرمان، ایران

*کد پستی ۱۷۵-۱۴۱۱۵، تهران، ایران

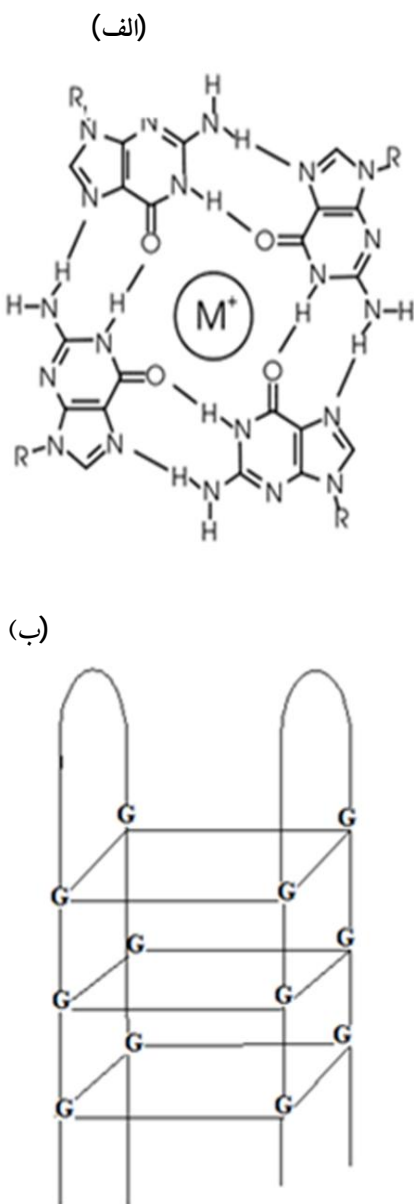
ranjbarb@modares.ac.ir

(دریافت مقاله: ۹۱/۴/۲۷، پذیرش: ۹۱/۶/۲۰)

چکیده - بازهای نیتروژنی آلی تشکیل دهنده نوکلئوتیدها ویژگی‌هایی شبیه به فلورفورها را از خود نشان می‌دهند. با این حال اسیدهای هسته‌ای از نوع DNA. خاصیت فلورسانسی بسیار ضعیفی دارند. از این رو شناسایی لیگاندهای متصل شونده به DNA که در حالت ازاد؛ فاقد نشر فلورسانس هستند و تنها بر اثر اتصال به مولکول‌های DNA نشر فلورسانس می‌یابند، بسیار کاربردی است. در این مقاله اثر یون‌های فلزی سدیم و پتاسیم بر القای ساختار چهارشته‌ای در الیگومری با نام PS2.M (GTG3TAG3CG3T2G2) بررسی شده است. برهمکنش DNA چهارشته‌ای با مولکول Hemin، موجب تشکیل دزوکسی‌ریبوزایمی با فعالیت پراکسیدازی می‌شود. طیف‌سنجی نور مرئی-فرابنفش، فعالیت پراکسیدازی الیگومر PS2.M را نشان داد، همچنین تشکیل ساختار چهارشته‌ای DNA به وجود آمده از این الیگومر با استفاده از طیف‌سنجی دورنگ‌نمایی دورانی، بررسی شد. در ادامه نتایج حاصل از فلورسانس ذاتی چهارشته‌ای تشکیل دهنده دزوکسی‌ریبوزایم شبه-پراکسیدازی، افزایش شدت فلورسانس DNA در حالت چهارشته‌ای را در مقایسه با حالت تکرشته‌ای نشان داد. افزون بر این، رنگ نامتقارن سیانینی (سایبرگلدن) به عنوان کاوشگر برای بررسی فلورسانس خارجی DNA چهارشته‌ای مورد استفاده قرار گرفت. این کاوشگر تمايز بالايي بين DNA تکرشته و چهارشته‌ای نشان داد.

واژگان کلیدی: چهارشته‌ای، فلورفور، سایبرگلدن، فعالیت پراکسیدازی، دورنگ‌نمایی دورانی

خارجی چهاررشهای تشکیلدهنده این ساختار وجود ندارد.



شکل ۱ االف - ساختار یک صفحه تترادی که شامل پیوندهای هیدروژنی از نوع هاگستینی است [۲]. ب - ساختار شماتیک یک چهاررشهای.

۱- مقدمه

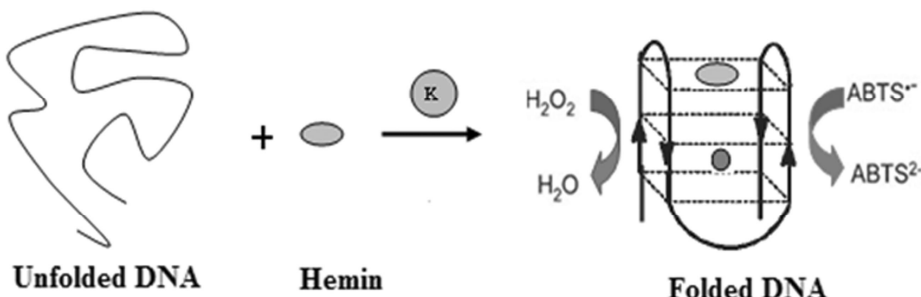
ساختار DNA ژنومی در ارگانیسم‌های زنده، مارپیچ دوررشهای است. با این حال DNA می‌تواند شکل‌های ساختاری دیگری هم داشته باشد. یکی از این ساختارها، توالی‌های اسیدهای هسته‌ای سرشار از گوانین است که توانایی تشکیل ساختارهای چهاررشهای را دارد [۱]. در این ساختارها، توالی‌های سرشار از گوانین، تشکیل صفحات مریع مانندی را می‌دهند که بازهای گوانین در آن‌ها با پیوندهای هیدروژنی از نوع هاگستینی^۱ به هم پیوند و به وسیله‌ی برخی کاتیون‌ها پایدار می‌شوند (شکل ۱) [۲]. این ساختارها در شکل‌های کروموزومی مهمی مانند تلومرها و پروموتر ژن‌ها یافت می‌شوند و نقش‌های کارکردی مهمی در فرایندهای زیستی دارند و در نانوتکنولوژی و پزشکی استفاده فراوان می‌شوند [۳]. کشف برخی ساختارهای چهاررشهای -هِمین^۲ که فعالیت پراکسیدازی دارند، گام مهمی در بررسی این ساختارها به شمار می‌رود. تنها تعداد بسیار کمی از چهاررشهای‌ها در حضور هِمین فعالیت شبه‌پراکسیدازی نشان می‌دهند [۴].

PS2.M یک توالی ۱۸ تایی الیگونوکلئوتیدی سرشار از گوانین است که تمایل به تشکیل ساختار چهاررشهای دارد و می‌تواند با اتصال به هِمین، فعالیت پراکسیدازی را در حضور ۲,2'-azinobis(3-ethylbenzothiazoline)-6-sulfonic acid (ABTS) دهد (شکل ۲) [۵]. در حقیقت این ساختار پیچیده یک دزوکسی‌ریبوزايم^۳ (DNAzyme) با فعالیت شبه-پراکسیدازی است [۶]. تاکنون ویژگی‌های ساختاری مختلفی از این دزوکسی‌ریبوزايم بررسی شده‌است [۹-۶]. با این وجود هیچ گزارشی در مورد فلورسانس ذاتی و

1 Hoogsteen-type

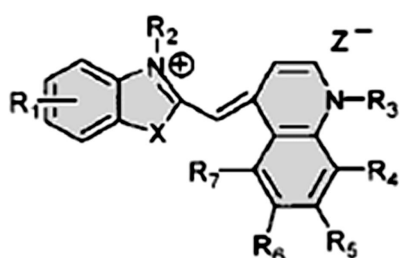
2 Hemin(Fe (III) protoporphyrin IX)

3 Deoxyribozyme



شکل 2 عملکرد دزوکسی ریبوزایم شبه پراکسیدهیدروژن به واسطه سوبسترای کروموزنیک ABTS.

هستند و بر اثر اتصال به مولکول‌های DNA تکرشته و دورشته، افزایش فلورسانس خارجی در آن‌ها دیده می‌شود [24]. رنگ سایبر از خانواده رنگ‌های سیانینی هستند (شکل 3). داده‌های کمی در مقالات علمی در مورد ساختار رنگ‌های سایبر شامل سایبرگرین³، سایبرگرین^{II}⁴، پیکوگرین⁵ و سایبرگلد⁶، منتشر شده است [26-24].



شکل 3 ساختار نامتقارن رنگ سیانینی. در مورد سایبرگلد، X می‌تواند اکسیژن یا گوگرد باشد. استخلاف‌های متعدد و مختلفی می‌تواند روی حلقه‌های مزدوج وجود داشته باشد (Ri). یون مخالف Z⁻ (counterion) می‌تواند کلراید، پدید، پرکلراید و یا سولفونات‌های مختلف باشد.

طیف‌سنجی فلورسانس برای بررسی جنبه‌های ساختاری چهاررشته‌ای‌ها [10-13] و همچنین برهم‌کشن آن‌ها با نشانگرهای مختلف استفاده می‌شود؛ به همین دلیل میزان و کیفیت نشر برچسب‌های¹ فلورسانست بررسی می‌شود [16-14]. مولکول‌های DNA که بازهای نیتروژن‌دار دارند به نظر ویژگی فلوروفوری² نشان می‌دهند اما در واقع آن‌ها یا ویژگی فلورسانس ندارند و یا نشر فلورسانس بسیار ضعیفی نشان می‌دهند [17]. دلیل اصلی نشر پایین فلورسانس در مولکول‌های DNA تکرشته و دورشته، دقیق مشخص نشده است [18]. با این حال، مولکول‌های DNA سرشار از گوانین، نشر فلورسانس بالاتری در مقایسه با سایر توالی‌هایی بدون گوانین نشان می‌دهند، هرچند که مقدار فلورسانس نشرشده پایین است [19]. از آنجا که نشر ذاتی DNA بسیار ضعیف گزارش شده است، برچسب‌های فلورسانس خارجی برای تشخیص آن استفاده می‌شود [20].

در سال‌های نزدیک، پیشرفت بسیاری در تولید رنگ‌های ویژه متصل‌شونده به DNA رخ داده است که از آن‌ها می‌توان به رنگ‌های سیانینی اشاره کرد [23-21]. رنگ‌های سیانینی به داشتن فلورسانست ذاتی پایین معروف

3 SYBR Green I
4 SYBR Green II
5 Pico Green
6 SYBR Gold

1 Label
2 Fluorophore

2- مواد

مواد استفاده شده:

H_2O_2 (Hydrogen peroxide) 30% (w/v), ABTS, Triton X-100, HEPES(4-(2-hydroxyethyl)piperazine-1-ethanesulfonic acid sodium salt), NaCl, KCl, DMSO, Hemin

با درجه خلوص بالا از شرکت سیگما تهیه شد.

محلول نخست همین در دی‌متیل‌سولفوکساید ۲ درصد، تهیه و در ۲۰ درجه سانتی‌گراد نگهداری شد و پیش از هر بار استفاده با بافر موردنظر به حجم و غلظت موردنیاز رسانده شد. رنگ فلورسانس سایبر گلد از کمپانی Molecular Probes (Eugene, OR, USA) خریداری شد.

3- روش‌ها

طیفسنجی مرئی - فرابنفش (UV-vis) با استفاده از دستگاه اسپکتروفوتومتر (Scinco, Korea) V S-2100 و بررسی‌های طیفسنجی دورنگنمای دورانی با استفاده از دستگاه اسپکتروپلاریمتر (Jasco, Japan) J-715 انجام شد. اندازه‌گیری‌های فلورسانس نیز با دستگاه اسپکتروفوتومتر LS-5S (PerkinElmer, Wellesley, MA) ثبت شد.

1-3-2- تشکیل DNA چهاررشته‌ای

الیگومر DNA پیش از استفاده، ۱۵ دقیقه در دمای اتاق قرار گرفت و سپس به مدت ۱۰ دقیقه در ۸۸ درجه سانتی‌گراد حرارت داده شد. این کار برای جدا سازی همه ساختارهای بین رشته‌ای انجام شد. سپس DNA با بافر ۵۰ میلی‌مolar HEPES با pH 7/4 که شامل نمک‌های ۴۰ میلی‌مolar کلرید پتاسیم و ۴۰۰ میلی‌مolar کلرید سدیم است، در حضور Triton X-100 و DMSO ۲ درصد،

بیشتر بررسی‌هایی که تاکنون روی این رنگ‌ها انجام شده است در زمینه‌ی کاربرد آن‌ها در رنگ‌آمیزی ژل الکتروفورز DNA تکرشته و دورشته‌ای است [۲۷-۳۲]. با این حال، تاکنون گزارشی در مورد اندازه‌گیری فلورسانس خارجی چهاررشته‌ای‌ها (بهویژه چهاررشته‌ای تشکیل دهنده دزوکسی‌ریبوزایم شبه-پراکسیدازی) و شناسایی آن‌ها از سایر ساختارهای معمول DNA با استفاده از رنگ‌های سایبر داده نشده است. از این رو در این مقاله پس از بررسی اثر یون‌های فلزی در القای ساختار چهاررشته‌ای در توالی PS2.M بر هم‌کنش آن با همین برای تشکیل دزوکسی‌ریبوزایم با فعالیت شبه-پراکسیدازی بررسی و روش دورنگنمای دورانی برای تعیین ساختار PS2.M به کار برده شد. سپس فلورسانس ذاتی این ساختار چهاررشته‌ای بررسی و با فلورسانس ذاتی همان توالی از DNA در حالت تکرشته مقایسه شد. به این ترتیب سایبر گلد به عنوان یک نشانگر برای بررسی ساختار چهاررشته‌ای آزموده شد. بر اساس دانسته‌های ما، برهم‌کنش سایبر گلد و DNA چهاررشته‌ای با طیفسنجی دورنگنمای دورانی و فلورسانس، تاکنون گزارش نشده است.

2- مواد و روش‌ها

1-2- الیگونوکلئوتید

الیگونوکلئوتید سرشاراز گوانین با توالی (GTGGGTAGGGCGGGTGG) با درجه خلوص بالا به موسیله‌ی شرکت سیگما ساخته شد. غلظت تکرشته‌های الیگونوکلئوتیدی با خوانش جذب در طول موج ۲۶۰ نانومتر به دست آمده و برای تهیه محلول‌ها استفاده شد. محلول نخست الیگونوکلئوتیدها در آب مقطر استریل تهیه شد و پیش از هر بار استفاده، برای رسیدن به غلظت موردنظر رقیق شد.

الیگونوکلئوتیدی 12 دقیقه در 88 درجه سانتی گراد حرارت داده شد. سپس به آرامی و در دمای اتاق خنک شد و سرانجام در بافر دارای کاتیون های سدیم و پتاسیم، 24 ساعت انکوبه شد. طیف های دورنگ نمایی دورانی در بازه طول موجی 200 تا 320 نانومتر و در کوتوله با ضخامت 1 میلی متر ثبت شد. پارامتر های مؤثر در دورنگ نمایی دورانی، سرعت 100 نانومتر بر دقیقه، رزو لوشن 1 نانومتر، زمان پاسخ 1 ثانیه، پهنه ای باند 1 نانومتر و حساسیت 200 میلی درجه تنظیم شدند. سرانجام برای تفسیر نهایی، طیف بافر از طیف نمونه ها کم شد [35,36].

3-2-5- اندازه گیری فلورسانس

برای اندازه گیری فلورسانس ذاتی 8 میکرو گرم / میلی لیتر DNA چهاررشهای در آب مقطر و نیز 8 میکرو گرم / میلی لیتر pH 7/4 HEPES با 50 میلی مولار بافر DNA هر دو استفاده شد. نمونه های تکرر شده و چهاررشهایی DNA در طول موج 240 نانومتر تهییج شدند. طیف نشری ایجاد شده در بازه طول موجی 550 تا 700 نانومتر جمع آوری شد. برای سنجش فلورسانس خارجی طیف تهییجی و طیف نشری سایبر 8 گلدد پس از دمادهی 15 دقیقه ای این رنگ با 8 میکرو گرم / میلی لیتر برای هر دو شکل DNA جمع آوری شد. طول موج تهییجی این رنگ، 495 نانومتر و طول موج نشری آن، 537 نانومتر است.

3- نتایج و بحث

3-1- طیف سنجی مرئی - فرابینش: شناسایی بوهم کنش DNA چهاررشهای - همین
الیگونوکلئوتید های محدودی گزارش شده است که توانایی اتصال به مولکول های پور فیرین را دارند؛ این الیگونوکلئوتیدها از روش *In Vitro Selection* شناسایی

تیمار شد و 60 دقیقه در دمای اتاق قرار داده شد تا الیگومر بتواند در این شرایط ساختار نهایی تاخورد خود را که همان DNA چهاررشهای است به دست آورد [33].

2-2-2- تشکیل دزوکسی ریبوزایم

پس از شکل گیری ساختار چهاررشهای، محلولی هم حجم و هم غلظت از همین در بافر HEPES به آن اضافه شد و برای 60 دقیقه، این محلول در دمای اتاق قرار گرفت تا محصول نهایی که همان دزوکسی ریبوزایم است به دست آید. برای اطمینان از شکل گیری، از طیف سنجی مرئی - فرابینش استفاده شد [33].

3-3-2- اندازه گیری فعالیت پراکسیدازی

فعالیت پراکسیدازی DNA چهاررشهای در حضور همین بر پایه ای روش های پیشین گزارش شده، آزموده شد [34]. رنگ سنجی¹ در دمای اتاق و در محلول شناسایی که شامل بافر HEPES و اجزای تشکیل دهنده آن بود، با طیف سنجی مرئی - فرابینش انجام شد. به طور کوتاه شده، 490 میکرو لیتر محلول 6 میلی مولار ABTS به 5 میکرو لیتر محلول 60 میکرو مولار پراکسید هیدروژن افزوده شد. واکنش با افزودن 5 میکرو لیتر از دزوکسی ریبوزایم و یا همین، بسیار سریع آغاز شد. افزایش جذب در طول موج 421 نانومتر که نشان دهنده ظهور رادیکال ABTS است، با خوانش جذب در دامنه طول موجی 390 تا 500 نانومتر دنبال شد.

4-3-2- اندازه گیری دورنگ نمایی دورانی

محلول الیگونوکلئوتیدی در بافر HEPES با pH 7/4 با کمینه غلظت 100 میکرو مولار آماده شد. برای اطمینان از تشکیل ساختار DNA چهاررشهایی، نخست محلول

¹ Colorimetry

3-2- سنجش فعالیت پراکسیدازی

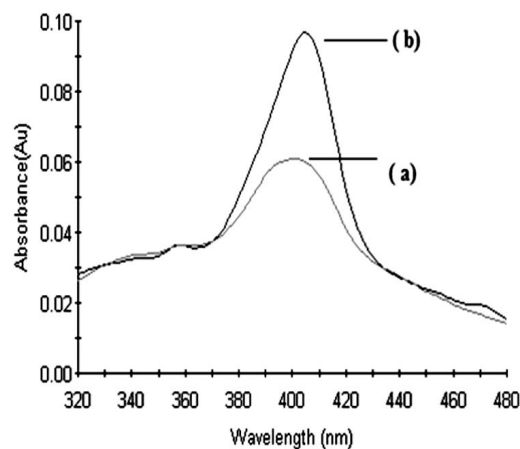
توانایی DNA چهارشته‌ای برای افزایش فعالیت پراکسیدازی همین با استفاده از سامانه ABTS-H₂O₂ بررسی شد. برای اثبات فعالیت DNAzyme PS2.M ایجاد شده از PS2.M، کارکرد کاتالیتیک آن با همین به عنوان کترول، مقایسه و ثبت شد.

(Ferric Protoporphyrin IX Chloride) Hemin خانواده پروتوبورفیرین‌های آهن دار است [6-4]. پورفیرین‌ها به عنوان کوفاکتور در جابه‌جایی، انتقال الکترون و در انواع واکنش‌های اکسایش و کاهش در پراکسیدازها، کاتالازها، مونوکسیژنазها، هموگلوبین، پروتئین‌های فتوستتری، سیتوکروم‌ها و ... مورد استفاده قرار می‌گیرند [7-5].

بررسی‌های EPR نشان داده است که پروتئین‌های دارای هم و همین می‌توانند به تنها یک پروکسیدهای آلی واکنش داده و در اثر شکستن پیوند O-O، مخلوطی از رادیکال‌های آزاد آلی تولید کنند که باعث تولید گونه‌های پراکسیدازی کلاسیک است [39].

اکسیداسیون پراکسید هیدروژن که با واسطه ABTS انجام می‌شود، رادیکال‌های آزاد ABTS⁺ را تولید می‌کند که ایجاد این رادیکال‌ها، اساس سنجش فعالیت پراکسیدازی است؛ زیرا رادیکال آزاد ABTS که محصول واکنش اکسیداسیون است، در طول موج 421 نانومتر جذب دارد [39-37]. همان‌گونه که در شکل 5 نشان داده شده است، فعالیت ذاتی همین به تنها یک بسیار پایین است و هیچ محصول واکنشی بعد از گذشت زمان دیده نمی‌شود (شکل 5). با این وجود در حضور PS2.M شدت سیگنال جذب کمینه 4 برابر افزایش می‌یابد (شکل 5). این نتایج نشان می‌دهد که حضور ساختار DNA چهارشته‌ای PS2.M برای افزایش فعالیت پراکسیدازی همین ضروری است.

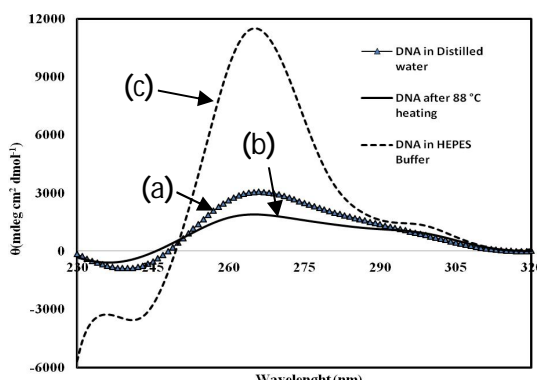
می‌شوند [38.37]. از میان این آپتامرهای الیگونوکلئوتیدی، الیگومری با نام PS2.M که نشان داده شده است افزون بر اتصال به پورفیرین‌ها، فعالیت پراکسیدازی دارد، برای تشکیل DNAzyme شبه پراکسیدازی به عنوان آپتامر متصل شونده به پورفیرین، انتخاب شد. شکل 4. طیف جذبی همین را پیش و پس از دمادهی با PS2.M نشان می‌دهد؛ همان‌گونه که دیده می‌شود، همین در حالت آزاد و غیرمتصل، یک باند جذبی در ناحیه Soret در طول موج 396 نانومتر نشان می‌دهد [4a]. بر اثر انکوبه شدن همین با PS2.M افزایش چشم‌گیری در میزان جذب در ناحیه باند Soret دیده می‌شود [4b]. همچنین مرکز جذب، مقدار کمی جابه‌جایی به سمت طول موج بالاتر، از طول موج 396 به 404 نانومتر نشان می‌دهد. این ویژگی نمایانگر ماهیت هیدروفوب محل اتصال به همین است؛ از این ویژگی می‌توان برای بررسی برهم‌کنش PS2.M و همین استفاده کرد [38].



شکل 4 طیف جذبی مرثی - فرابنفش برهمکنش بین- Hemin-DNA در بافر HEPES با pH 7/4 (a؛ pH 0/5 میکرومولار (b؛ Hemin با 0/5 میکرومولار PS2.M .

3-3- اندازه‌گیری دورنگ‌نمایی دورانی

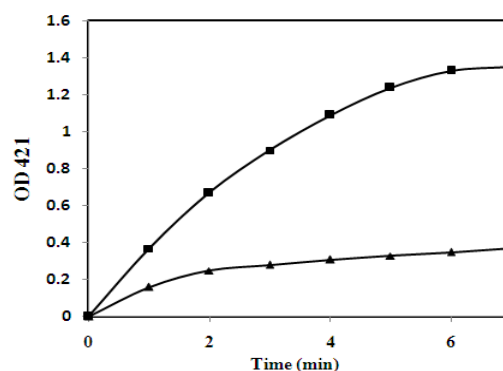
برای درک ساختار فضایی¹ الیگومر PS2.M در شرایط درون بافر HEPES و آب مقطمر استریل، طیف‌های دورنگ‌نمایی دورانی ثبت شد. الیگونوکلئوتید موجود در آب مقطمر، پس از 15 دقیقه انکوباسیون در دمای اتاق، پیک بسیار ضعیفی در طول موج 265 نانومتر نشان داد (شکل 6a). ساختار تانخورده یا تکرشته‌ای M که بر اثر حرارت به مدت 10 دقیقه در دمای 88 درجه سانتی گراد ایجاد شده بود، هیچ‌گونه پیک ساختاری از خود نشان نداد (شکل 6b). در مقابل، الیگونوکلئوتید PS2.M که 24 ساعت در بافر HEPES در حضور کاتیون‌های سدیم و پتاسیم انکوبه شده بود، ساختار متفاوتی پذیرفت و پیک‌های طیف دورنگ‌نمایی دورانی شناخته شده DNA‌های چهار رشته‌ای را نشان داد (شکل 6c).



شکل 6 طیف دورنگ‌نمایی دورانی PS2.M در حضور آب مقطمر استریل (a)، بعد از حرارت 88 درجه سانتی گراد (b)، در بافر HEPES با 7/4 pH واجد کاتیون‌های سدیم (400 میلی مولار) و پتاسیم (40 میلی مولار) (c). غلظت نمونه‌های مورد استفاده در دورنگ‌نمایی دورانی 100 میکرومولار است.

¹ Conformation

هرچه هیدروفویسیتی محیط دربردارنده همین افزایش یابد، به همان میزان فعالیت پراکسیدازی آن افزایش پیدا خواهد کرد [38]. بنابراین به نظر می‌رسد DNA چهاررشته‌ای PS2.M توانسته است محیط مناسبی برای افزایش فعالیت پراکسیدازی فراهم کند. درصد بالا، ترتیب و چگونگی قرارگیری گوائین‌ها در توالی PS2.M برای اتصال به همین و فعالیت گروه پروستیک هم در مولکول همین ضروری است [39]. افزون بر Low-temperature electron paramagnetic DNA resonance spectroscopic چهاررشته‌ای - همین ایجاد می‌دهد که کوردننس پنجم و ششم آهن با گوائین ایجاد می‌شود که باعث دور شدن آب و افزایش ویژگی هیدروفویسیتی می‌شود [38]. با توجه به وجود آهن در ترکیب همین، بررسی‌های ویژه روی سازوکار پراکسیدازی باید با روش EPR انجام شود. همچنین زمانی می‌توان دقیق درباره سازوکار اثر DNA چهاررشته‌ای بر همین صحبت کرد که مطالعات Docking Molecular Dynamic و روی این ساختار انجام شود ولی ساختار DNA چهاررشته‌ای PS2.M با روش‌های کریستالوگرافی و NMR تعیین نشده است.



شکل 5 مقایسه فعالیت پراکسیدازی DNAzyme و Hemin در بافر HEPES با 7/4 pH در حضور کروموزن ABTS در طول موج 421 نانومتر: 0/25 میکرومولار (■)، 0/25 میکرومولار (▲).

و ناپایدار از PS2.M دیده می‌شود (شکل 6a). بر اثر حرارت، به دلیل از بین رفتن بیشتر برهم‌کنش‌های مولکولی هیچ پیک ساختاری معنی‌داری دیده نمی‌شود (شکل 6b). همان‌گونه که دیده می‌شود، در حضور یون‌های سدیم و پتاسیم در بافر HEPES، مولکول PS2.M به شکل DNA چهاررشته‌ای تا می‌خورد. این کاتیون‌ها نقش چشم‌گیری در پایدارسازی ساختارهای DNA چهاررشته‌ای دارند؛ آن‌ها فضای حفره مرکزی ایجاد شده در اثر روی هم قرار گرفتن صفحات تترادی را اشغال می‌کنند و با ایجاد پیوند کوئردینانسی با اکسیژن شماره 6 گروه کربونیل هر گوانین در صفحات تترادی و به دنبال آن خشی‌سازی دافعه الکتروستاتیک، این نقش را بر عهده دارند [41]. به همین خاطر است که PS2.M در بافر دارای کاتیون در مقایسه با آب، می‌تواند یک ساختار چهاررشته‌ایی از نوع موازی و پایدار ایجاد کند که پیک شاخص مثبت 265 و منفی 240 نانومتر، نشان‌دهنده وجود آن است (شکل 6c). در واقع می‌توان گفت وجود کاتیون‌های یونی سدیم- پتاسیم در بافر، تعیین کننده آرایش رشته‌های DNA در چهاررشته‌ای M از PS2.M دیدگاه موازی یا غیرموازی بودن است [42].

پس از انکوباسیون PS2.M با رنگ سایبرگلد، تغییر چشم‌گیری در شدت پیک در طول موج 265 و 245 نانومتر دیده شد که نشان می‌دهد با افزودن رنگ سایبرگلد، هر دو پیک DNA چهاررشته‌ایی تشکیل شده، 2/5 برابر در هر دو ناحیه 265 و 245 نانومتر کاهش یافته‌ند (شکل 7). از آنجا که طیف دورنگ‌نمایی دورانی به میزان بالایی به استاکینگ هندسه بازها وابسته است، می‌توان پیشنهاد داد که رنگ سایبرگلد تاثیر زیادی بر پارامترهای ساختاری داشته و باعث تغییراتی در محتوای گوانینی ساختار چهاررشته‌ای شده است.

به گونه‌ای کلی، دورنگ‌نمایی دورانی، اختلاف جذب نور مسطح قطبیده چپ‌گرد و راست‌گرد را اندازه‌گیری می‌کند [35، 36]. کاربرد دورنگ‌نمایی دورانی، شواهدی برای تعیین وجود DNA چهاررشته‌ایی در ساختار نوکلئیک‌اسیدها فراهم می‌کند. همچنین این روش برای تعیین نوع آرایش رشته‌های چهاررشته‌ای موازی و غیرموازی¹ به کار می‌رود. چهاررشته‌ای موازی، یک پیک مثبت در 265 نانومتر و یک پیک منفی در ناحیه 245 نانومتر نشان می‌دهد. در حالی که چهاررشته‌ای غیرموازی با یک پیک مثبت در 295 نانومتر و یک پیک منفی در ناحیه 265 نانومتر مشخص می‌شود [40]. افزون بر این طیف دورنگ‌نمایی دورانی می‌تواند بین شکل‌های DNA تکرشته‌ای و چهاررشته‌ای تمایز نشان دهد [40]. بنابراین در این بررسی، از روش دورنگ‌نمایی دورانی به عنوان ابزاری سودمند برای تعیین وجود چهاررشته‌ای‌ها استفاده شد. نتایج دورنگ‌نمایی دورانی نشان داد که 88 DNA حل شده در آب مقطر استریل، پیش از حرارت درجه سانتی‌گراد، پیک بسیار ضعیفی با مقدار بیضی‌واری پایین نشان می‌دهد. علت این رویداد، ممکن است نبود محیط مناسب برای تشکیل ساختار چهاررشته‌ای باشد.

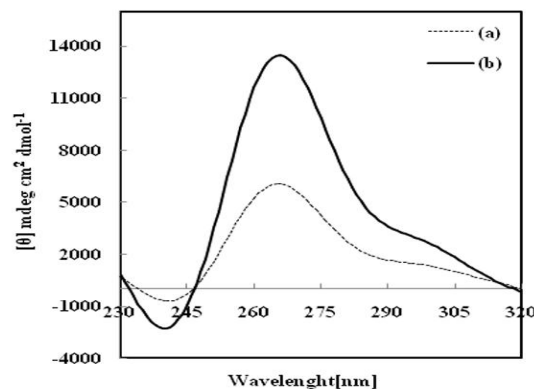
از آنجاکه وجود بازهای گوانین چه از دیدگاه تعداد و چه از دیدگاه ترتیب و چگونگی قرارگیری در توالی، نقش مهمی در شکل‌گیری ساختار چهاررشته‌ای ایفا می‌کنند، می‌توان گفت به این خاطر شاخص بیضی‌واری پایین دیده شده است که تنها تعداد کمی از الیگومرها به درستی شکل گرفتند. در حقیقت به خاطر این که یون‌های کاتیونی نقش مهمی در شکل‌گیری و پایداری چهاررشته‌ای‌ها دارند و در محلول دارای آب مقطر استریل هیچ یونی وجود ندارد؛ یک ساختار چهاررشته‌ای ضعیف

1 Parallel and Anti Parallel

هر دو در دو طول موج **336** و **240** نانومتر تهییج شدند، چشم‌گیر بود.

به نظر می‌رسد طول موج **240** نانومتر می‌تواند طول موج ویژه برای ساختار DNA چهاررشته‌ای PS2.M باشد. دلیل درست و قطعی برای افزایش فلورسانس ذاتی در الیگونوکلوتیدهای تشکیل دهنده چهاررشته‌ای‌ها به طور دقیق مشخص نشده است. این موضوع به کافی نبودن داده‌های علمی درباره‌ی سطوح برانگیختگی و ویژگی‌های الکترونیکی ماکرومولکول‌های پیچیده مانند DNA مربوط است [43]. بررسی‌های پیشین نیز فلورسانس ذاتی ضعیفی برای مولکول‌های DNA در حالت طبیعی دورشته‌ای گزارش کرده است؛ البته برای افزایش شدت فلورسانس، روش‌هایی معرفی و استفاده شده است [44]. نتایج این بررسی، مانند دیگر نتایج گزارش شده تا امروز، نشان داد که DNA در حالت تکرشته (بدون ساختار) در مقایسه با DNA چهاررشته‌ای (دارای ساختار) کاهش فلورسانس ذاتی نشان می‌دهد. فلورسانس اسیدهای نوکلئیک، با ساختار الکترونیکی مولکول DNA مهاجرت و اتلاف انرژی تهییجی در ارتباط است [10]. از میان بازه‌های تشکیل دهنده مولکول DNA، باز آلی گوانین فلورسانس قوی‌تری نسبت به دیگر بازها دارد [13-11]؛ با این حال، تنها وجود باز آلی گوانین در توالی DNA نمی‌تواند موجب افزایش فلورسانس ذاتی شود. همان‌گونه که درباره‌ی DNA استفاده شده در این مقاله (PS2.M) دیده شد، وجود بازه‌ای گوانین تاخورده (خطی) هیچ اثری بر فلورسانس ذاتی ندارد؛ بلکه عامل اثر گذار، سازماندهی درون مولکولی بین بازه‌ای گوانین است [19-17].

آرایش بازها در DNA چهاررشته‌ای به صورت صفحات تترادی، با برهمنکش کروموفورها و افزایش استاکینک میان تترامرها موجب افزایش فلورسانس می‌شود [10-13]. چنین استاکینگ‌هایی از گوانین‌ها در برابر آب، حفاظت کرده و از



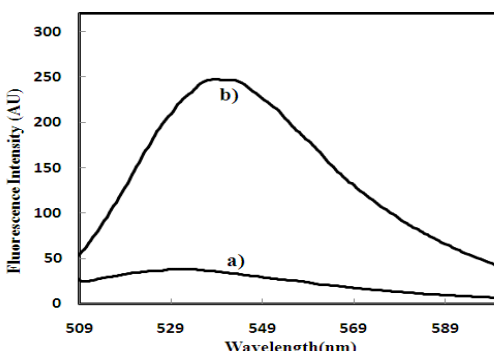
شکل 7 طیف دورنگ نمایی دورانی PS2.M در حضور (a) و غیاب (b) سایپرگلد در 50 میلی‌مولار بافر pH 7/4 HEPES با 40 میلی‌مولار (400 میلی‌مولار) و پتاسیم 100 میکرومولار می‌باشد.

4-3- طیف‌سنجی فلورسانس

4-3-1- فلورسانس ذاتی

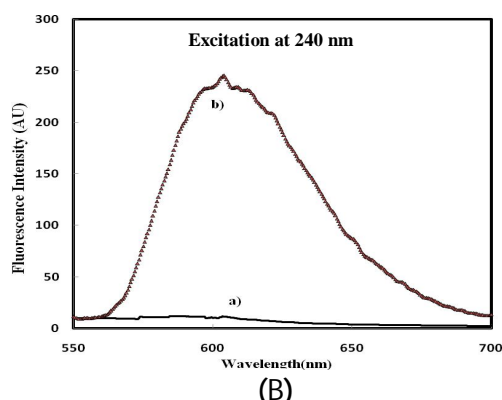
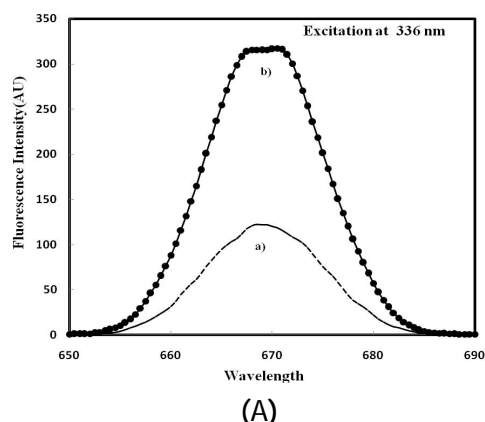
طیف فلورسانس DNA در حالت تکرشته در آب مقطمر، در مقایسه با DNA چهاررشته‌ای شکل گرفته در بافر در طول موج تهییجی **336** نانومتر، شدت پایین‌تری (حدود 3 برابر) نشان داد (شکل 8A). با این وجود، تغییرات در شدت نشر برای DNA چهاررشته‌ای زمانی که در طول موج **240** نانومتر تهییج شد، چشم‌گیر بود (شکل 8B). همان‌گونه که در شکل 8B دیده می‌شود، سیگنال نشر شده DNA در بافر دارای سدیم و پتاسیم به گونه‌ای تقریبی، **250** برابر شدت نشر دیده شده در آب است. این نتایج باز هم تأییدی بر اهمیت حضور یون‌ها برای DNA تاخوردن و شکل‌گیری الیگومر PS2.M به شکل چهاررشته‌ای است. در واقع می‌توان گفت وجود DNA چهاررشته‌ای برای تولید شدت نشر فلورسانس بالاتر ضروری است. اختلاف میان شدت نشر فلورسانس ذاتی DNA در دو حالت تکرشته و چهاررشته‌ای، زمانی که

در طول موج 495 نانومتر، بیشترین نشر فلورسانس برای این رنگ در طول موج 537 نانومتر دیده شده است [24]. مانند شکل ۹ b در حضور محلول رنگ‌آمیزی سایبر گلد میزان نشر فلورسانس خارجی DNA ساختار یافته [DNA چهاررشته‌ای تشکیل شده در بافر (HEPES)] بیشتر از DNA تکرشته موجود در آب مقطر استریل است. فلورسانس DNA چهاررشته‌ای انکوبه شده با رنگ سایبر گلد در بازه 30 و 45 دقیقه، بیشترین شدت فلورسانس را در طول موج 537 نانومتر، پس از 15 دقیقه از خود نشان داد (شکل ۹ b)؛ در حالی که پس از 30 و 45 دقیقه تغییر معنی‌داری دیده نشد (داده‌ها نشان داده نشده است). بیشترین نشر خارجی DNA چهاررشته‌ای همراه با سایبر گلد در بازه 15 دقیقه، ممکن است نتیجه گسترش و کشیدگی این ماکرومولکول باشد. این نتایج نشان داد که افزایش چشم‌گیری در شدت فلورسانس سایبر گلد پس از اتصال به DNA چهاررشته‌ای ایجاد می‌شود. به نظر می‌رسد که DNA چهاررشته‌ای، در مقایسه با DNA تکرشته و تانخورده و فاقد ساختار، ظرفیت پذیرش بیشتری برای اتصال به رنگ فلورسانس سایبر گلد دارد.



شکل ۹ طیف فلورسانس خارجی DNA فاقد ساختار، در آب مقطر استریل (a) و چهاررشته‌ای (b) در حضور سایبر گلد در بافر 50 میلی‌مolar HEPES با pH 7/4. طول موج مورد نظر برای تهییج 495 نانومتر و طول موج نشری برابر با 537 نانومتر استفاده شد.

مسیرهای متنه‌ی به خاموشی با واسطه حلال، جلوگیری می‌کند (Dynamic quenching) [43]. به نظر می‌رسد که فاکتورهایی مانند تشکیل حالت G^*G excimer کنار اجزای تشکیل دهنده توالی، استاکینک بازها و هتروژنسیتی ساختار، می‌تواند بر ویژگی‌های انتقال انرژی و حالات برانگیختگی و تهییجی DNA چهاررشته‌ای اثر بگذارد [44,43].



شکل ۸ طیف فلورسانس ذاتی الیگونوکلئوتید PS2.M در طول موج 336 (A) و 240 نانومتر (B) در حضور آب مقطر استریل (a) و در حضور 50 میلی‌مolar بافر HEPES با pH 7/4 (b).

2-4-3-فلورسانس خارجی

رنگ سایبر گلد دو طول موج تهییجی دارد، یکی در ناحیه فرابینفس در طول موج 300 نانومتر و دیگری در ناحیه مرئی

اجزای تشکیل‌دهنده این رنگ، امکان پیش‌بینی نوع اتصال آن به DNA را مشکل می‌کند. در واقع برهم‌کنش رنگ‌های سیانینی مانند سایبر گلد با DNA، به عوامل مختلفی مانند جزئیات ساختاری، مقدار بارهای مثبت، تقارن و نوع ساختار مولکول DNA ای بارهای مثبت، تقارن و نوع ساختار مولکول DNA که رنگ با آن برهم‌کنش دارد، وابسته است. در حقیقت این فاکتورها تعیین‌کننده نوع برهم‌کنش رنگ با DNA یا از راه Intercalative و یا از راه اتصال به شیار کوچک خواهد بود [24-26]. با این وجود، مقالات اندکی در زمینه برهم‌کنش سایبر گلد با مولکول‌های DNA تکرر شده و دور شته‌ای در رنگ آمیزی ژل الکتروفورز به چاپ رسیده است. این بررسی‌ها نشان داده است که سایبر گلد می‌تواند با ویژگی و حساسیت بالا به ساختار دو رشته‌ای از راه اتصال به گروه‌های فسفات با بار منفی در بدنه و لوپ‌ها، ارتباط برقرار کند [45].

متاسفانه نمی‌توان نوع و محل اتصال این رنگ به مولکول DNA را به وسیلهٔ فلورسانس تعیین کرد. تمایز این دو حالت اتصالی تنها با تکنیک‌های پیچیده‌تر مانند رزونانس مغناطیسی هسته هیدروژن¹، رزونانس مغناطیسی هسته فسفر³¹ و دورنگ‌نمایی خطی ممکن است. افزون بر این، اگر جزئیات ساختاری کاوشگر فلورسانس و چهاررشته‌ای برهم‌کنش دهنده با آن به گونه‌ای دقیق تعیین شده باشد، تفسیر نتایج ساده‌تر و دقیق‌تر خواهد بود [30-32]؛ با این وجود نه تنها جزئیات ساختاری سایبر گلد در انحصار شرکت تولیدکننده آن است (ثبت اختراع) بلکه ساختار PS2.M چهاررشته‌ای استفاده شده در این بررسی یعنی M نیز، چه از نظر تعداد صفحات تترادی و چه از نظر نوع لوپ‌های پیونددۀنده بین صفحات، به گونه‌ی درست و

مشابه با دیگر رنگ‌های نامتقارن سیانینی، سایبر گلد از یک گروه بنزاژول و کوئینولین یا یک گروه هتروسیکلیک پیریدین تشکیل شده است که به وسیله‌ی یک پل متین با هم‌دیگر ارتباط دارند (شکل 3). به گونه‌ای کلی افزایش فلورسانس رنگ‌های نامتقارن سیانینی به محدودیت حرکات داخلی رنگ بر اثر اتصال رنگ به مولکول DNA مربوط است [32]. افزون بر این، استاکینک رنگ روی سطوح خارجی صفحات تترادی موجب افزایش استحکام ساختار رنگ و به دنبال آن افزایش فلورسانس خارجی می‌شود [44]. گزارش‌های منتشر شده نشان داده است که جایه‌جایی انرژی میان بازه‌ای DNA و یک لیگاند فلورسنت پیوند شده به آن، تنها زمانی ممکن است که لیگاند کاملاً در نزدیکی بازه‌ای DNA قرار داشته باشد [45]. همین مسئله باید در مورد رنگ سایبر گلد نیز رخ دهد. بررسی‌ها نشان داده است که برای رنگ‌های خانواده سایبری، 2 حالت پیوند به مولکول DNA در نظر گرفته می‌شود؛ نخست پیوند بین صفحات تترادی (Intercalative) و دوم، از راه برهم‌کنش با شیار کوچک ایجاد شده در اثر شکل‌گیری ساختار چهاررشته‌ای است [45-42].

در حالی که همه‌ی رنگ‌های خانواده سایبری یک هسته مشترک ساختاری تشکیل‌دهنده در میان خود دارند، ولی وجود استخلاف‌های مختلف روی حلقه‌های آروماتیک به گونه معنی دار روی ویژگی‌های اتصال این رنگ‌ها با مولکول هدف اثر می‌گذارد. آنچه در مقالات و گزارش‌های منتشر شده تا به امروز دیده نشده است، تعیین دقیق عوامل استخلاف شده روی این ساختارها، به ویژه روی سایبر گلد است؛ به همین دلیل است که نداشتن داده‌های کافی درباره‌ی

۵- تشرک و قدردانی

این پژوهش با حمایت مالی دانشگاه تربیت مدرس انجام شده است که بدین‌وسیله سپاسگزاری می‌شود.

۶- منابع

- [1] McManus, S. A., and Li, Y. (2010) The structural diversity of deoxyribozymes. *Molecules*. 15, 6269–6284.
- [2] Lipps, H. J., and Rhodes, D. (2009) G-quadruplex structures: in vivo evidence and function. *Trends Cell Biol.* 2009, 19: 414–422.
- [3] Lu, Y., and Liu, J. (2006) Functional DNA nanotechnology: emerging applications of DNAzymes and aptamers. *Curr Opin Biotech.* 17, 580–588.
- [4] Travascio, P., Li, Y., and Sen, D. (1998) DNA-enhanced peroxidase activity of a DNA aptamer-hemin complex. *Chem Biol.* 5, 505–517.
- [5] Baum, D. A., and Silverman, S. K. (2008) Deoxyribozymes: useful DNA catalysts in vitro and in vivo. *Cell Mol Life Sci.* 65, 2156–2174.
- [6] Ito, Y., and Hasuda, H. (2004) Immobilization of DNAzyme as a thermostable biocatalyst. *Biotechnol Bioeng.* 86, 72–77.
- [7] Majhi, P. R., and Shafer, R. H. (2006) Characterization of an unusual folding pattern in a catalytically active guanine quadruplex structure. *Biopolymers*. 82, 558–569.
- [8] Cheng, X., Liu, X., Bing, T., Cao, Z., and Shangguan, D. (2009) General peroxidase activity of G-quadruplex-hemin complexes and its application in ligand screening. *Biochemistry*. 48, 7817–7823.

روشن، تعیین نشده است؛ هر چند شواهدی وجود دارد که تأیید می‌کند حضور یون‌های پتاسیم میان صفحات تترادی، از ورود مولکول‌های آروماتیک دیگر به چهاررشته‌ای جلوگیری می‌کند؛ پس می‌توان نتیجه گرفت که رقابتی میان مولکول سایبرگلد و کاتیون‌ها ایجاد می‌شود [45].

به نظر می‌رسد زمانی که رنگ به چهاررشته‌ای PS2.M متصل می‌شود، از راه گروه‌های با بار مثبت خود، تنها می‌تواند با گروه‌های باردار منفی فسفات موجود در بدنه و لوب‌ها بر هم‌کنش داشته باشد. در این مقاله، فعالیت پراکسیدازی الیگومر PS2.M با طیف‌سنجدی نور مرئی - فرابنفش و ویژگی‌های ساختاری آن در آب مقطر استریل و بافر HEPES با طیف‌سنجدی دورنگ‌نمایی دورانی، بررسی شد. بر اساس نتایج، تشکیل DNA چهاررشته‌ای در بافر دارای کاتیون‌های پتاسیم و سدیم تأیید شد. افزون بر این، طیف‌سنجدی فلورسانس نشان داد که شدت نشر توالی سرشار از گوانین در حالت DNA چهاررشته‌ای بیشتر از تکرشته‌ای است. همچنین پتانسیل رنگ سایبرگلد به عنوان برچسب فلورسانس برای تشخیص و تمایز DNA چهاررشته‌ای بررسی شد. یافته‌ها نشان داد که رنگ سایبرگلد، قدرت انتخاب بالایی برای DNA چهاررشته‌ای از نوع موازی، نسبت به DNA تکرشته‌ایی دارد. چنین ویژگی ممتازی برای این رنگ می‌تواند آن را به عنوان یک کاوشگر مناسب برای DNAهای چهاررشته‌ای معرفی کند. با این حال کسب داده‌های دقیق‌تر و بیشتر برای درک سازوکار برهم‌کنش رنگ سایبرگلد و DNA چهاررشته‌ای برای بررسی‌های علمی آینده، مهم و ضروری است.

- [16] Li, T., Wang, E., and Shaojun, D. (2010) Parallel G-quadruplex-specific fluorescent probe for monitoring DNA structural changes and label-free detection of potassium ion, *Anal. Chem.* 82, 7576–7580.
- [17] Lakowicz, J. R. (2006) Principles of Fluorescence Spectroscopy. Springer, New York, PP 104-115
- [18] Pisarevskii, N., Cherenkevich, S. N., and Andrianov, V. T. (1966) Fluorescence spectrum and quantum yield of DNA in solution. *J. Appl. Spect.* 5, 452–454.
- [19] Mendez, M. A., and Szalai, V. A. (2009) Fluorescence of unmodified oligonucleotides: a tool to probe G-quadruplex DNA structure. *Biopolymers.* 91, 841–850.
- [20] Rihn, B., Coulais, C., Bottin, M. C., and Martinet, N. (1995) Evaluation of non-radioactive labelling and detection of deoxyribonucleic acids. Part one: Chemiluminescent methods. *Biochem. Biophys. Methods.* 30, 91–102.
- [21] Alzeer, J., Vummidi, B. R., Roth, P.J., and Angew, N.W. (2009) Guanidinium-modified phthalocyanines as high affinity G-quadruplex fluorescent probes and transcriptional regulators. *Chem. Int. Ed.* 48, 9362 –9365.
- [22] Meguellati, K., Koripelly, G., and Angew, S. L. (2010) DNA-template synthesis of trimethine cyanine dyes: a versatile fluorogenic reaction for sensing G-quadruplex formation, *Chem. Int. Ed.* 49, 2738–2742.
- [23] Yang, Q., Xiang, J., Yang, S., Li, Q., Zhou, Q., Guan, A., Zhang, H., Zhang, X., Tang, Y., and
- [9] Wang, Y., Wang, J., Yang, F., Yang, X. (2010) Spectrophotometric detection of lead(II) ion using unimolecular peroxidase-like deoxyribozyme, *Microchim Acta.* 171, 195–201.
- [10] Ren, J., Qin, H., Wang, J., Luedtke, N. W., Wang, E., and Wang, J. (2011) Label-free detection of nucleic acids by turn-on and turn-off G-quadruplex-mediated fluorescence, *Anal Bioanal Chem.* 399, 2763–2770.
- [11] Xu, H., Gao, S., Yang, Q., Pan, D., Wang, L., and Fan, C. (2010) Amplified fluorescent recognition of G-quadruplex folding with a cationic conjugated polymer and DNA intercalator. *Appl Mater Interfaces.* 2, 3211–3216.
- [12] Zhao, C., Geng, J., Feng, L., Ren, J., and Qu, X. (2011) Chiral metallo-upramolecular complexes selectivity induce human telomeric G-quadruplex formation under salt-deficient conditions. *Chem. Eur. J.* 17, 8209–8215.
- [13] Largy, E., Hamon, F., and Teulade-Fichou, M. P. (2011) Development of a high-throughput G4-FID assay for screening and evaluation of small molecules binding quadruplex nucleic acid structures. *Anal Bioanal Chem.* 400, 3419–3427.
- [14] Juskowiak, B. (2006) Analytical potential of the quadruplex DNA-based FRET probes. *Analytica Chimica Acta.* 568, 171–180.
- [15] Kong, D. M., Ma, Y. E., Guo, J. H., Yang, W., Shen, H. X. (2009) Fluorescent sensor for monitoring structural changes of G-quadruplexes and detection of potassium ion. *Anal. Chem.* 81, 2678–2684.

- [29] Ahmad, A. I. (2007) BOXTO as a real-time thermal cycling reporter dye. *J. Biosci.* 32, 229–239.
- [30] Karlsson, H. J., Bergqvist, M. H., Lincoln, P., and Westman, G. (2004) Syntheses and DNA-binding studies of a series of unsymmetrical cyanine dyes: structural influence on the degree of minor groove binding to natural DNA. *Bioorgan Med Chem.* 12, 2369–2384.
- [31] Karlsson, H. J., Eriksson, M., Perzon, E., kerman, B. A., Lincoln, P., and Westman, G. (2003) Groove-binding unsymmetrical cyanine dyes for staining of DNA: syntheses and characterization of the DNA-binding. *Nucleic Acids Res.* 31, 6227-6234.
- [32] Kaloyanova, S., Trusova, V. M., Gorbenko, G. P., and Deligeorgiev, T. (2011) Synthesis and fluorescence characteristics of novel asymmetric cyanine dyes for DNA detection. *Journal of Photoch Photobio A.* 217, 147–156.
- [33] Li, T., Shi, L., Wang, E., and Dong, S. (2009) Multifunctional G-quadruplex aptamers and their application to protein detection. *Chem. Eur. J.* 15, 1036–1042.
- [34] Travascio, P., Sen, D., and Bennet, A. J. (2006) DNA and RNA enzymes with peroxidase activity- an investigation into the mechanism of action. *Can. J. Chem.* 84, 613–619.
- [35] Ranjbar, B., and Gill, P. (2009) Circular dichroism techniques: biomolecular and nanostructural analyses, *Chem Biol Drug Des.* 74, 101–120.
- [36] Protasevich, I., Ranjbar, B., Lobachov, V., Makarov, A., Gilli, R., Briand, C., Lafitte, Xu, G. (2010) Verification of specific G-quadruplex structure by using a novel cyanine dye supramolecular assembly: II. The binding characterization with specific intramolecular G-quadruplex and the recognizing mechanism. *Nucleic Acids Res.* 38, 1022–1033.
- [24] Tuma, R. S., Beaudet, M. P., Jin, X., Jones, L. J., Cheung, C. Y., Yue, S., Singer, V. L. (1999) Characterization of SYBR Gold nucleic acid gel stain: a dye optimized for use with 300-nm ultraviolet transilluminators. *Anal Biochem.* 268, 278–288.
- [25] Cosa, G., Focsaneanu, K. S., McLean, J. R., McNamee, J. P., Scaiano, J. C. (2001) Photophysical properties of fluorescent DNA-dyes bound to single- and double-stranded DNA in aqueous buffered solution. *Photochem photobiol.* 73, 585-599.
- [26] Guo, J. H., Zhu, L. N., Konga, D. M., and Shen, H. X. (2009) Triphenylmethane dyes as fluorescent probes for G-quadruplex recognition. *Talanta.* 80, 607–613.
- [27] Hongxia, S., Junfeng, X., Yazhou, Z., Guangzhi, X., Lianghua, X., and Yalin, T. (2006) Spectroscopic studies of the interaction between methylene blue and G-quadruplex. *Chinese Sci Bull.* 51, 1687–1692.
- [28] Netzel, T. L., Nafisi, K., and Zhao, M. (1995) Base-content dependence of emission enhancements, quantum yields, and lifetimes for cyanine dyes bound to double-strand DNA: photophysical properties of monomeric and bichromophoric DNA stains. *J. Phys. Chem.* 99, 17936–17947.

- for quadruplex DNA. *Nucleic Acids Res.* 26, 3724-3728.
- [42] Gray, D. M., Wen, J. D., Gray, C. W., Repges, R., Repges, C., Raabe, and G., Fleischhauer, J. (2008) Measured and calculated CD spectra of G-quartets stacked with the same or opposite polarities. *Chirality.* 20, 431-440.
- [43] Miannay, F. A., Banyasz, A., Gustavsson, T., and Markovitsi, D. (2009) Excited states and energy transfer in G-quadruplexes. *J. Phys. Chem. C.* 113, 11760–11765.
- [44] Kong, D. M., Ma, Y. E., Wu, J., and Shen, H. X. (2009) Discrimination of G-quadruplexes from duplex and single-stranded DNAs with fluorescence and energy-transfer fluorescence spectra of crystal violet. *Chem. Eur. J.* 15, 901–909.
- [45] Lubitz, I., Zikich, D., and Kotlyar, A. (2010) Specific high-affinity binding of Thiazole Orange to triplex and G-quadruplex DNA. *Biochemistry.* 49, 3567–3574.
- D., and Haiech, J. (1997) Conformation and thermal denaturation of apocalmodulin: role of electrostatic mutations, *Biochemistry.* 36, 2017-2024.
- [37] Travascio, P., Witting, P. K., Mauk, A. G., and Sen, D. (2001) The peroxidase activity of the hemin-DNA oligonucleotide complex: free radical damage specific guanine base of the DNA. *J. Am. Chem. Soc.* 123, 1337-1348.
- [38] Kawazoe, N., Teramoto, N., Ichinari, H., Imanishi, Y., and Ito, Y. (2001) In vitro selection of nonnatural ribozyme-catalyzing porphyrin metalation. *Biomacromolecules.* 2, 681-686.
- [39] Witting, P. K., Travascio, P., Sen, D., and Mauk, A. G. (2001) DNA Oligonucleotide-Hemin Complex Cleaves t-Butyl Hydroperoxide through a Homolytic Mechanism. *Inorg. Chem.* 40, 5017-5023.
- [40] Holm, A. I. S., Kohler, B., Hoffmann, S. V., and Nielsen, S. B. (2010) Synchrotron radiation circular dichroism of various G-quadruplex structures. *Biopolymers.* 93, 429–433.
- [41] Arthanari, H., Basu, S., Kawano, T. L., and Bolton, P. H. (1998) Fluorescent dyes specific